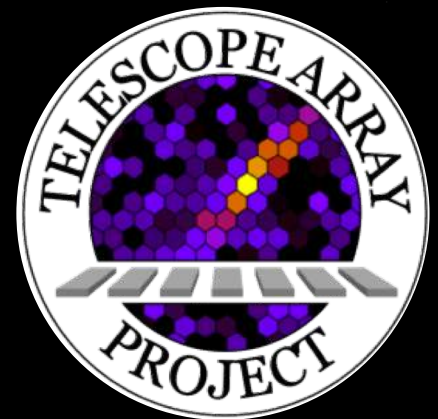
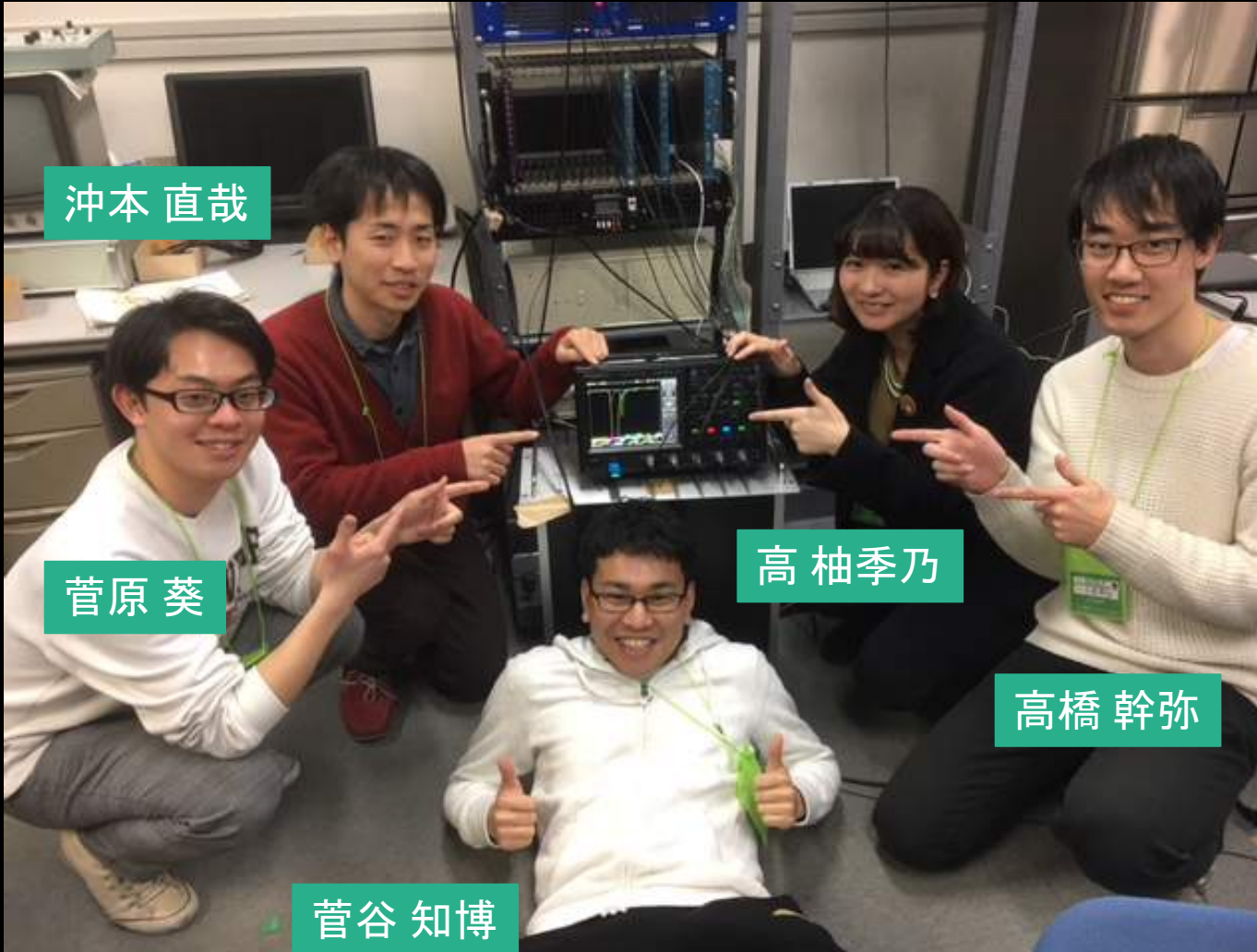


最高エネルギー宇宙線 プロジェクト研究

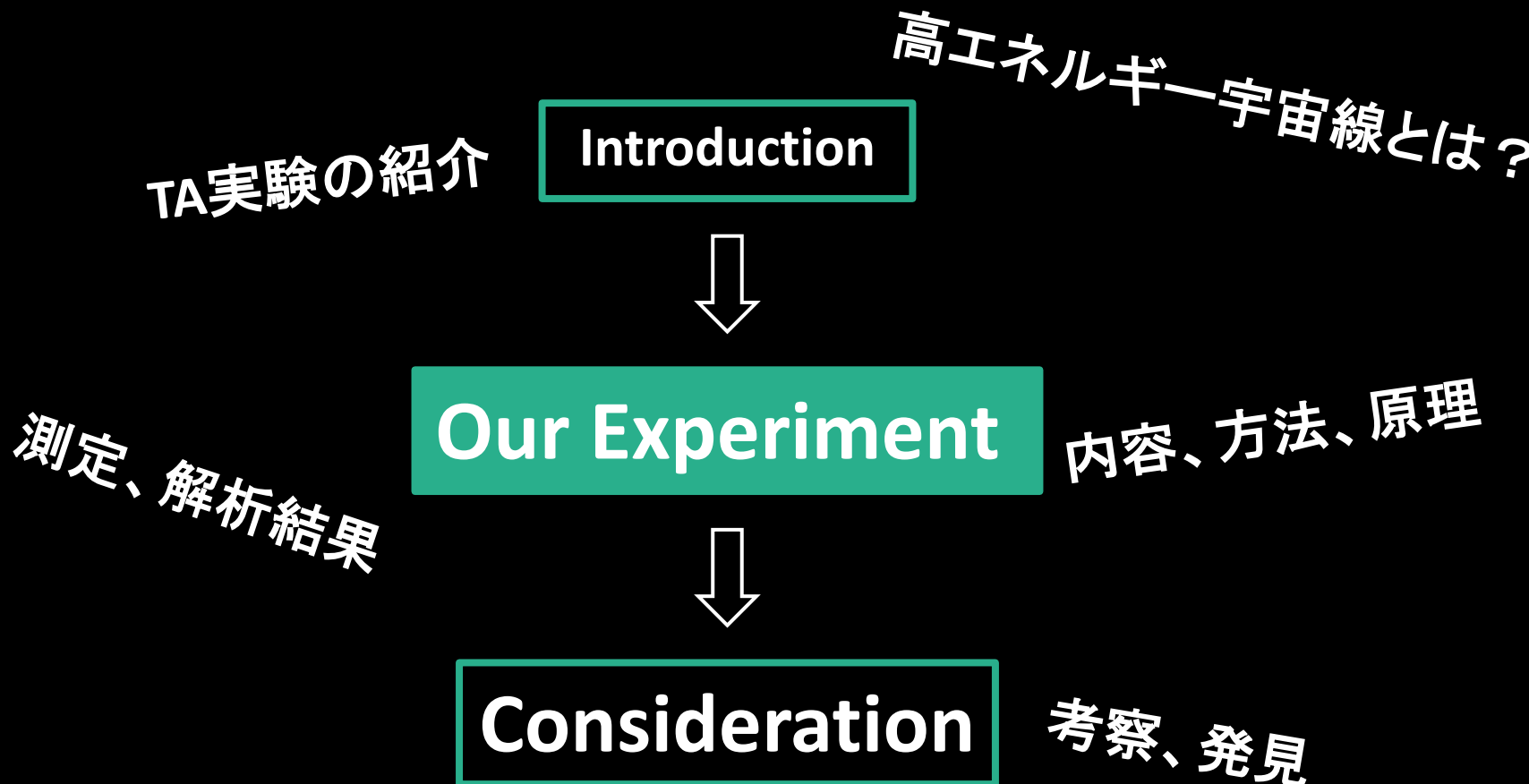




きみは感じるか、
宇宙の叫びを

宇宙・素粒子
SPRING SCHOOL 2018

発表の流れ



Introduction

高エネルギー宇宙線

宇宙線：宇宙空間を飛び交う高エネルギーの放射線

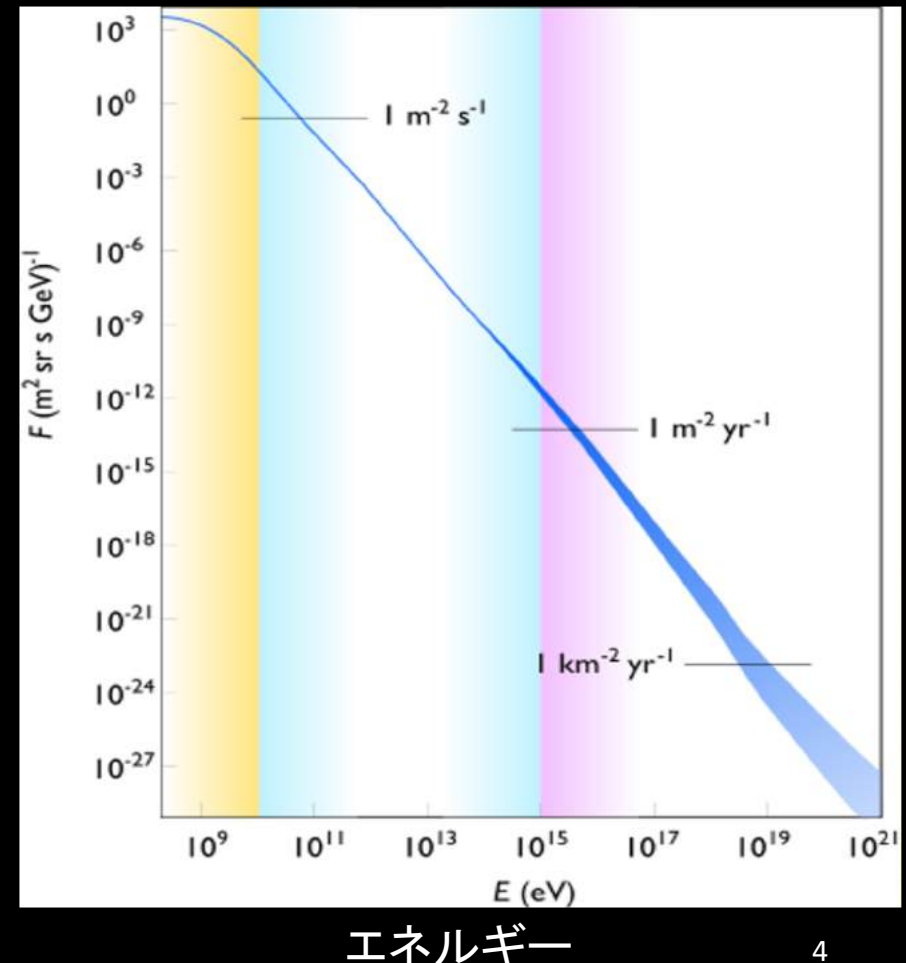
超高エネルギーの宇宙線が観測されている $\sim 10^{20} \text{ eV}$

人工加速器のエネルギー限界
 $\sim 10^{13} \text{ eV}$

エネルギーが一桁増えると
到来頻度はおよそ1/1000

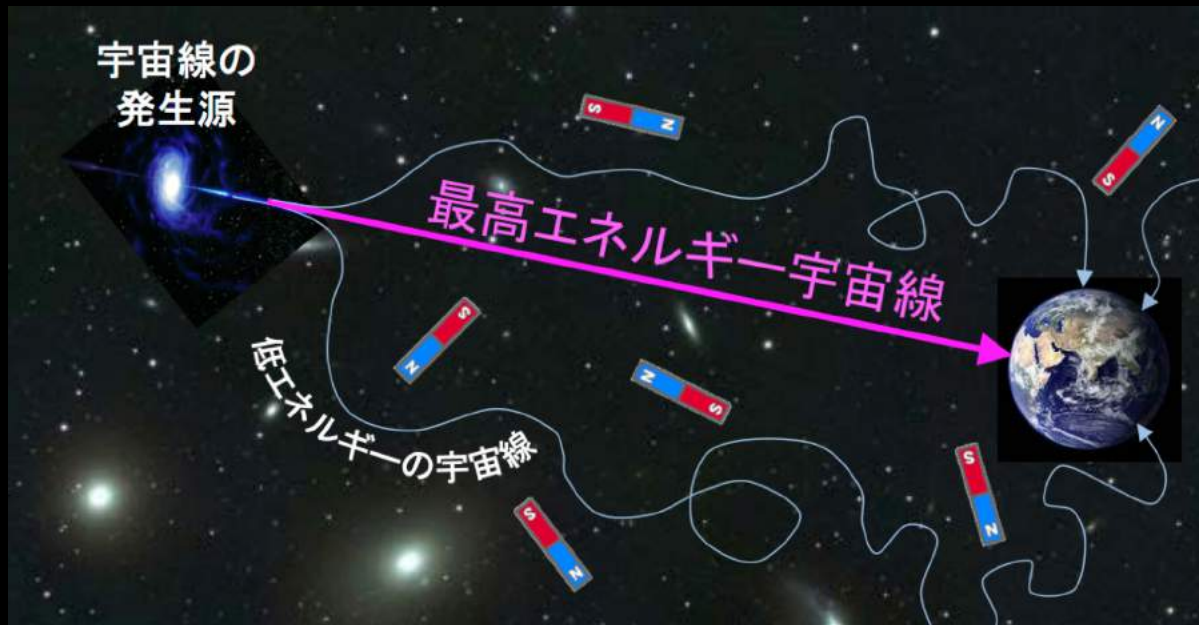
100km²に年間1個

宇宙線の到来頻度

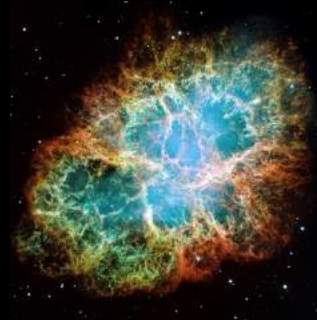


Introduction

高エネルギー宇宙線



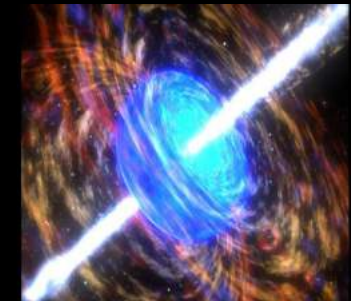
発生源候補



超新星残骸(かに星雲)



活動銀河核



ガンマ線バースト

いまだに謎

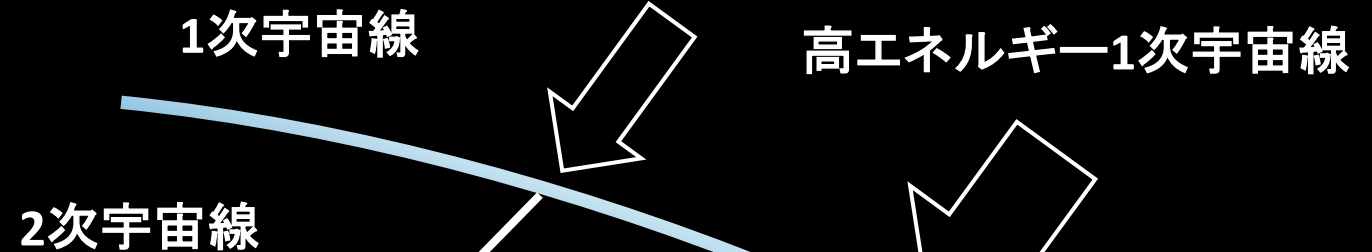
発生源が特定できる！！！



Introduction

Air Shower

1秒間で手のひらに**60個**



宇宙線が地球大気に突入すると
非常に多くの粒子群**空気シャワー**を作る

1秒間で手のひらに**1個** 地球の地表

2次粒子 ... μ 粒子、 γ 線、陽電子、電子

広範囲に広がる

Introduction

テレスコ-

⇒大気蛍光望遠鏡
大気分子が反応

⇒地表検出器
地上に降つて

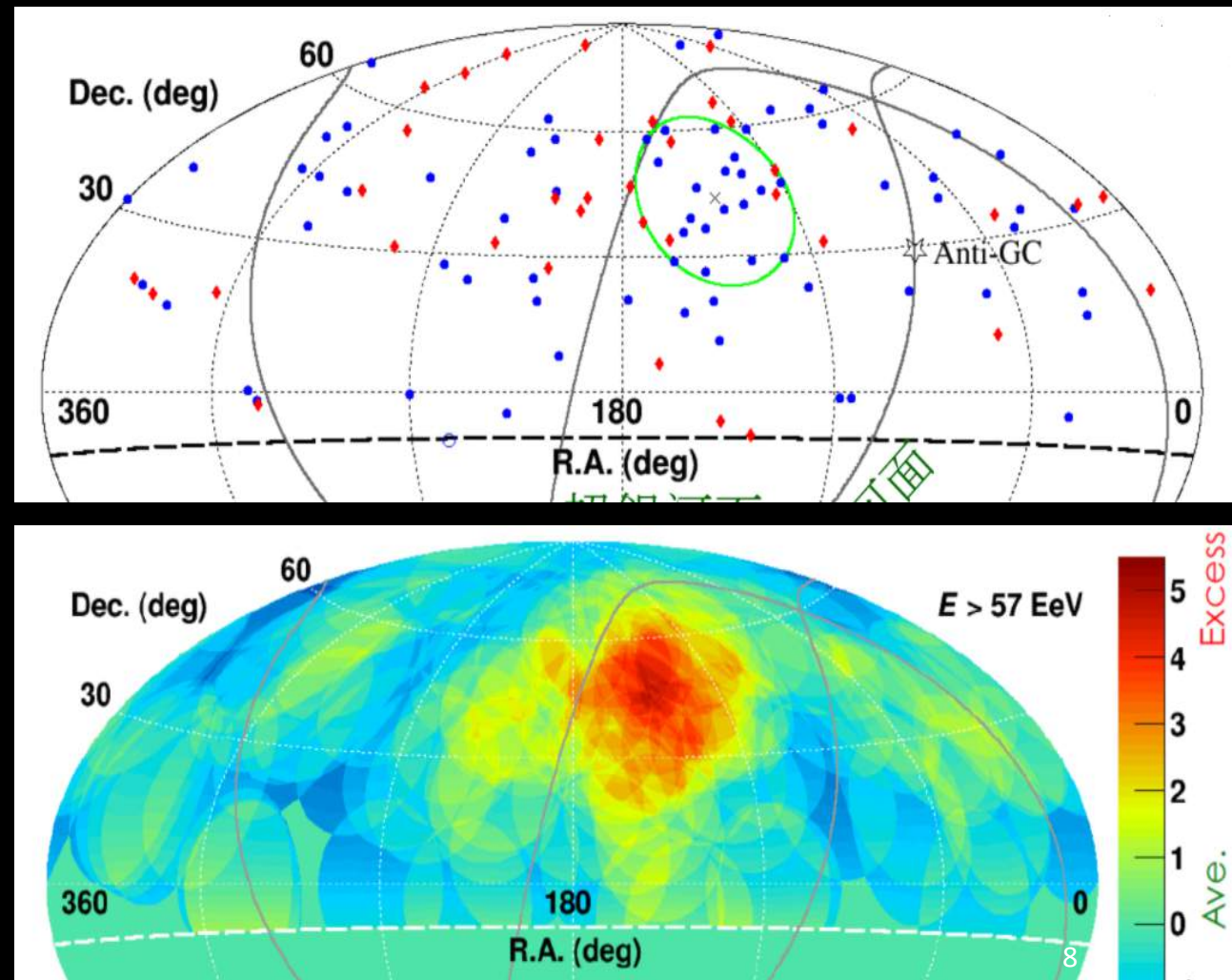
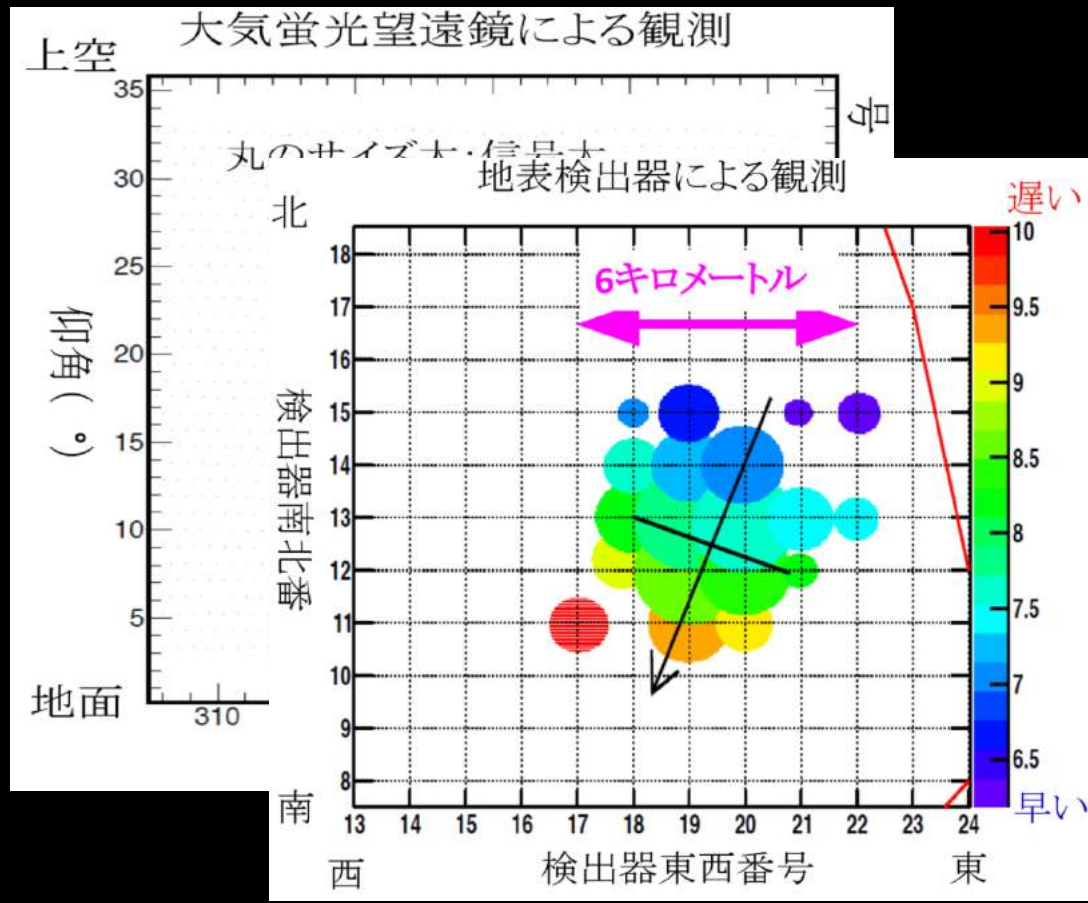
シャワーの中心に向かってかかる



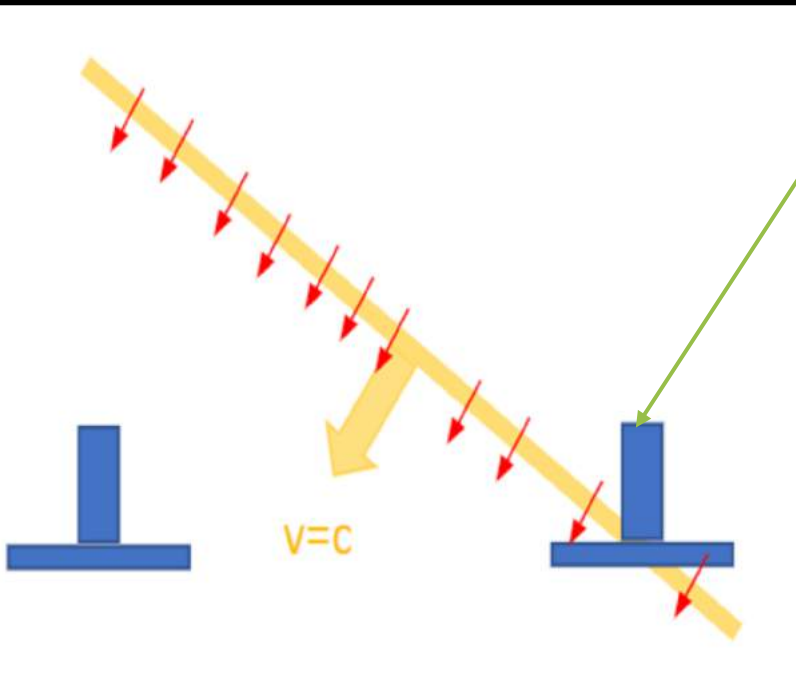
Introduction

到来方向の分布からHot Spotの存在を確認

三次元的に空気シャワーの動向を確認



Our Experiment



実験室内で3つの放射線検出器で同時に放射線が到来する現象をとらえ
信号の到来時刻の差から空気シャワーの到来方向を計算

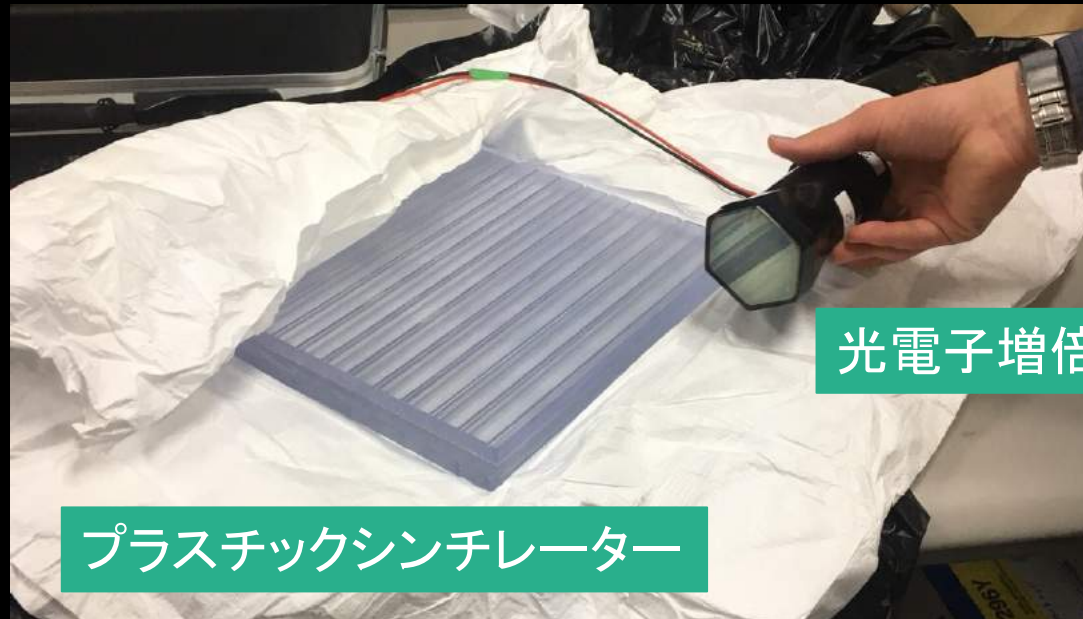


到来方向を天球座標に変換し
宇宙線の天体との対応や**角度分布**を議論

Our Experiment

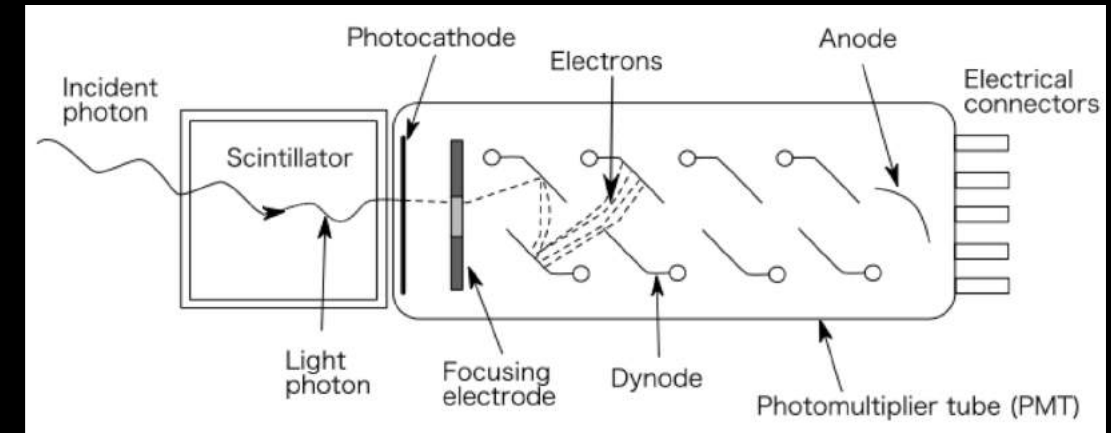
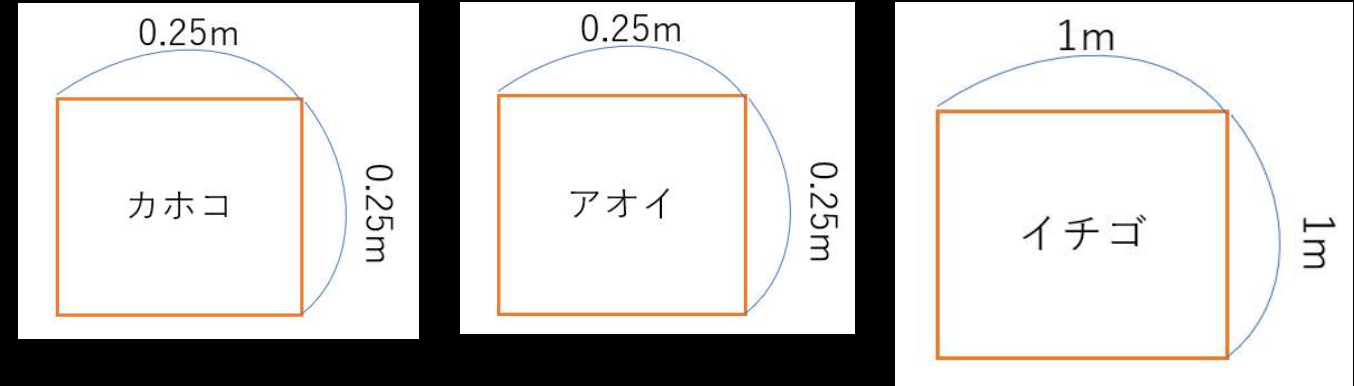
Detecting

2次電子効果を繰り返し電子を増幅して電流パルスを得る



光電子増倍管

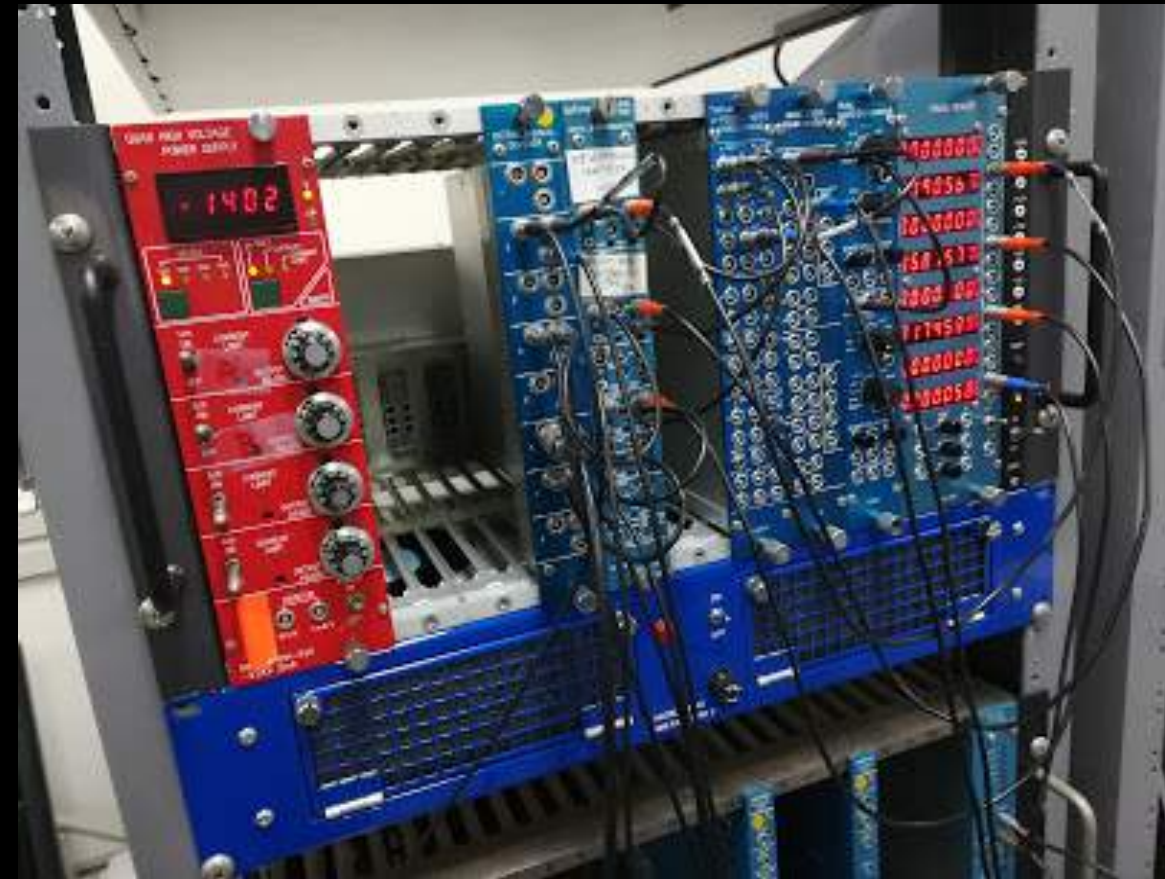
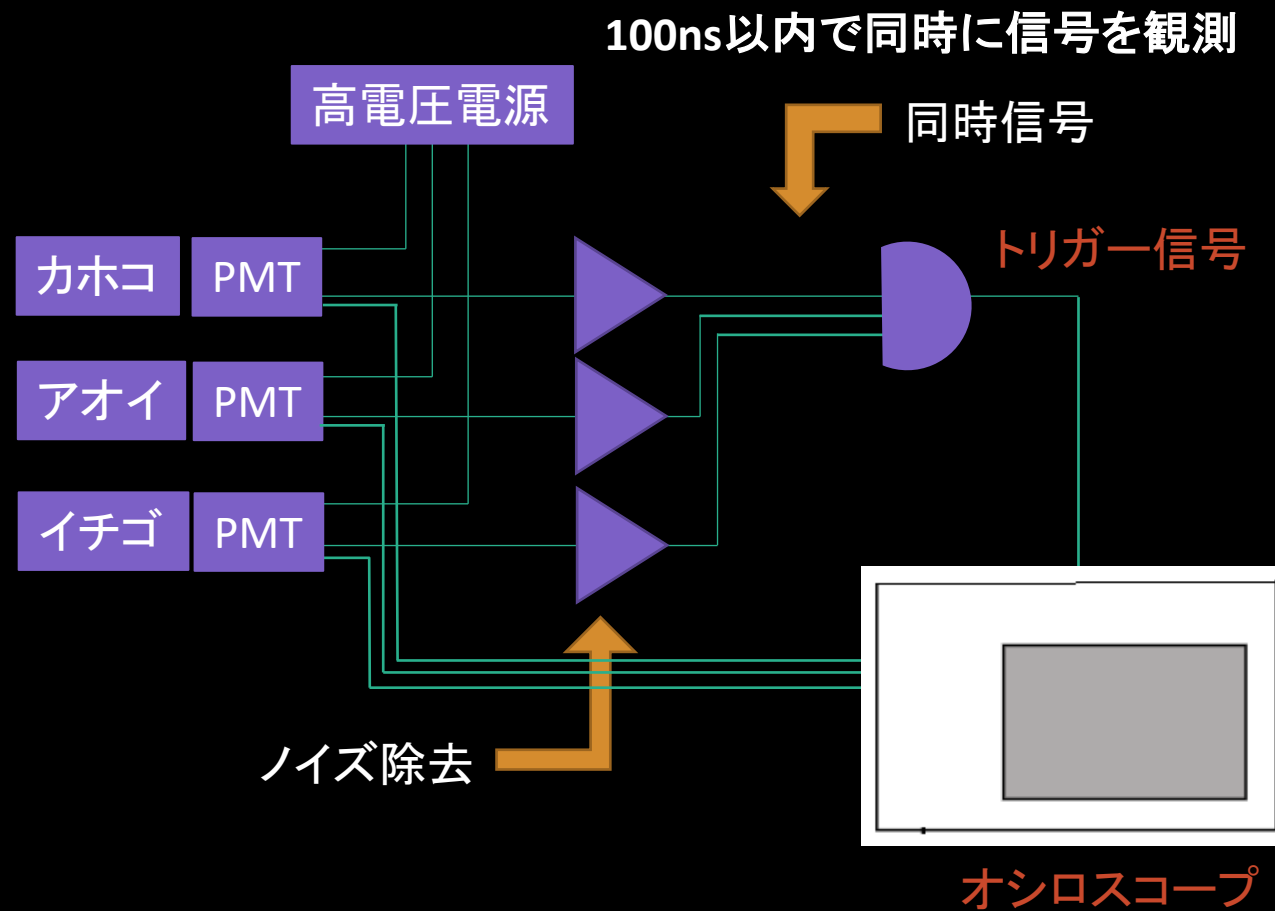
プラスチックシンチレーター



荷電粒子が電離によって失ったエネルギーに比例して蛍光を発する

Our Experiment

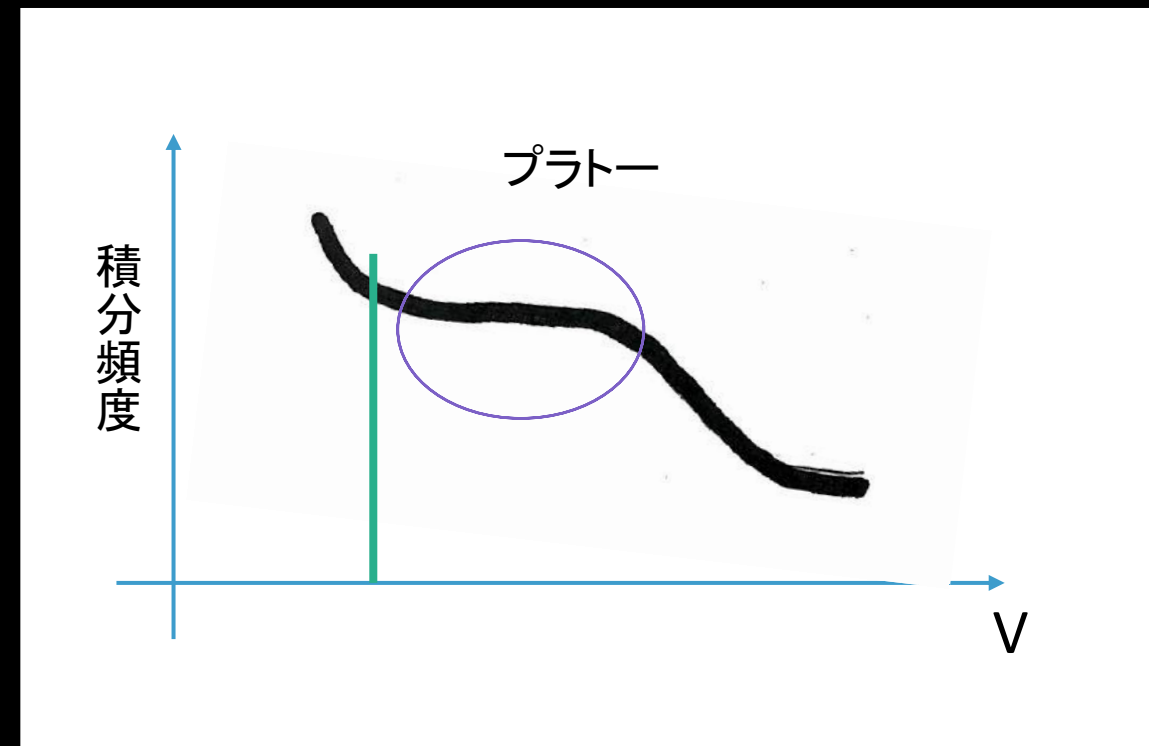
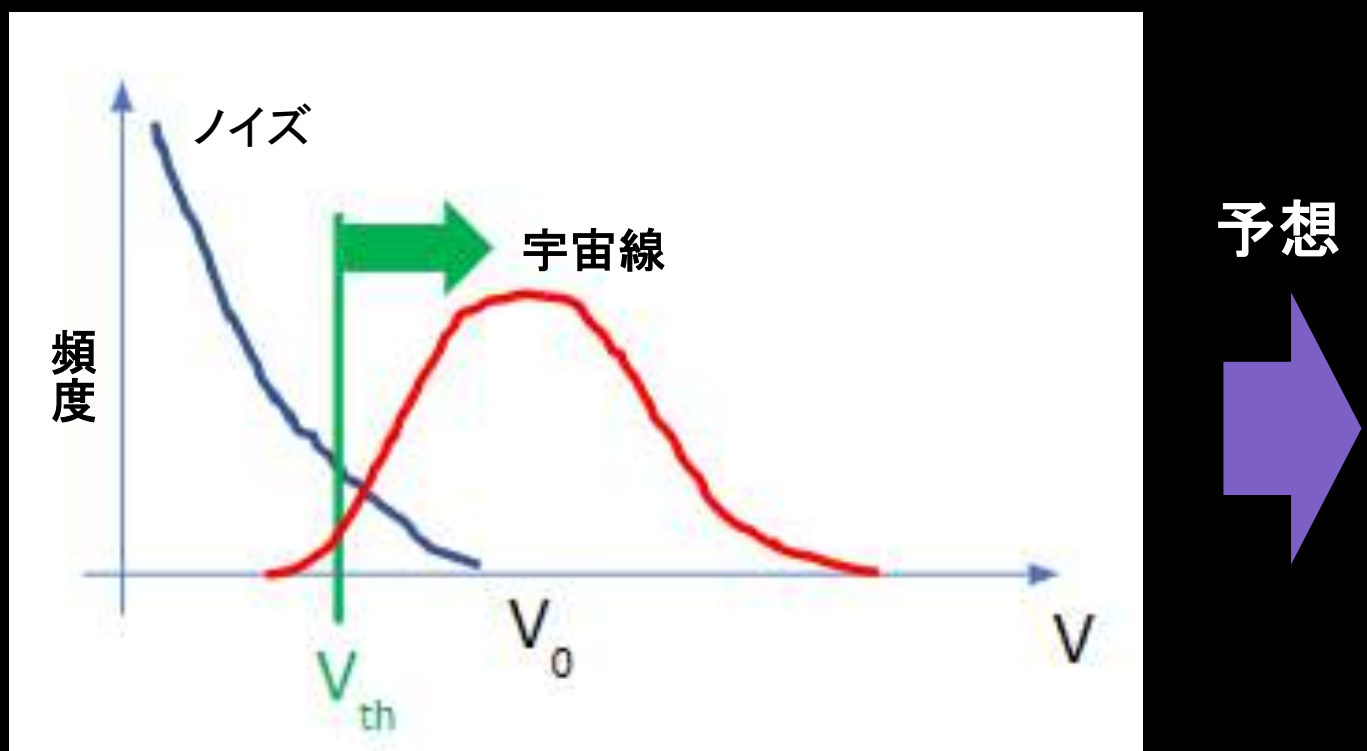
Detecting



Our Experiment

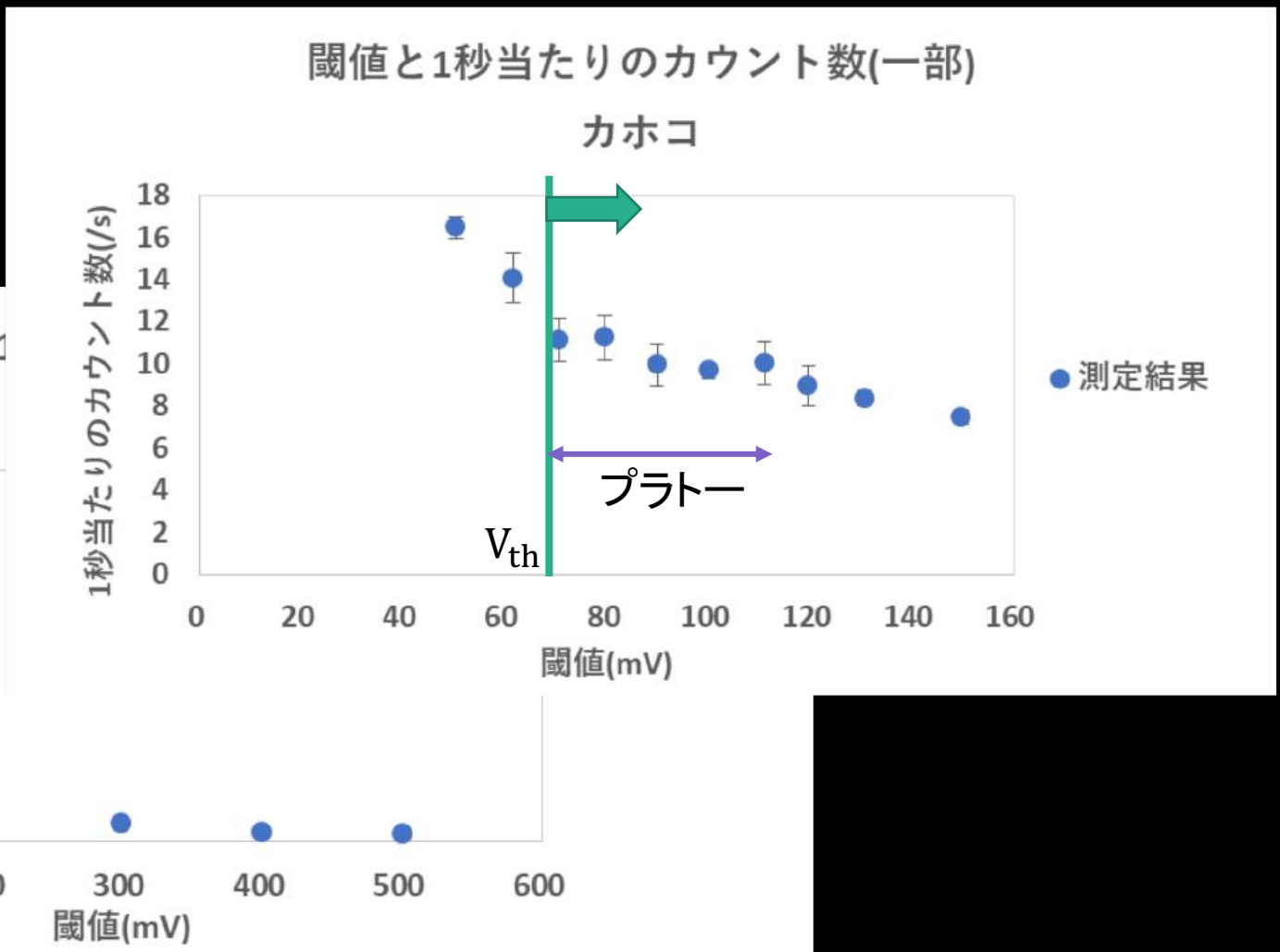
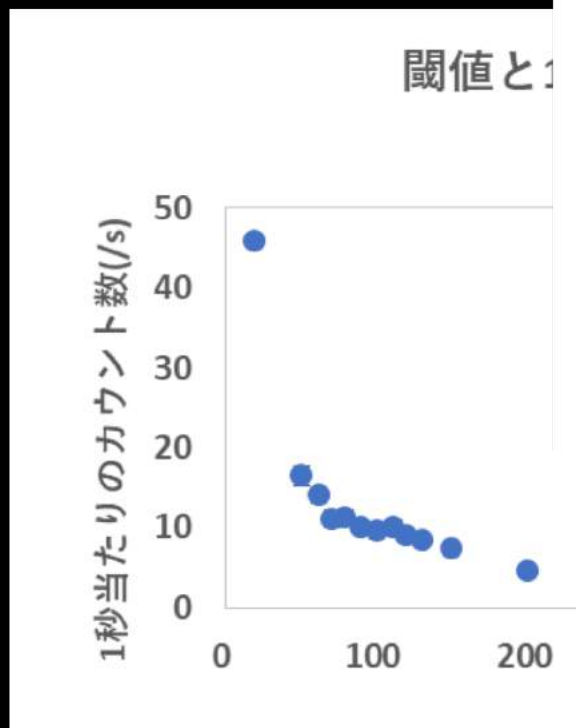
閾値の設定

ノイズ(光電子増倍管の熱雑音)の除去



Our Experiment

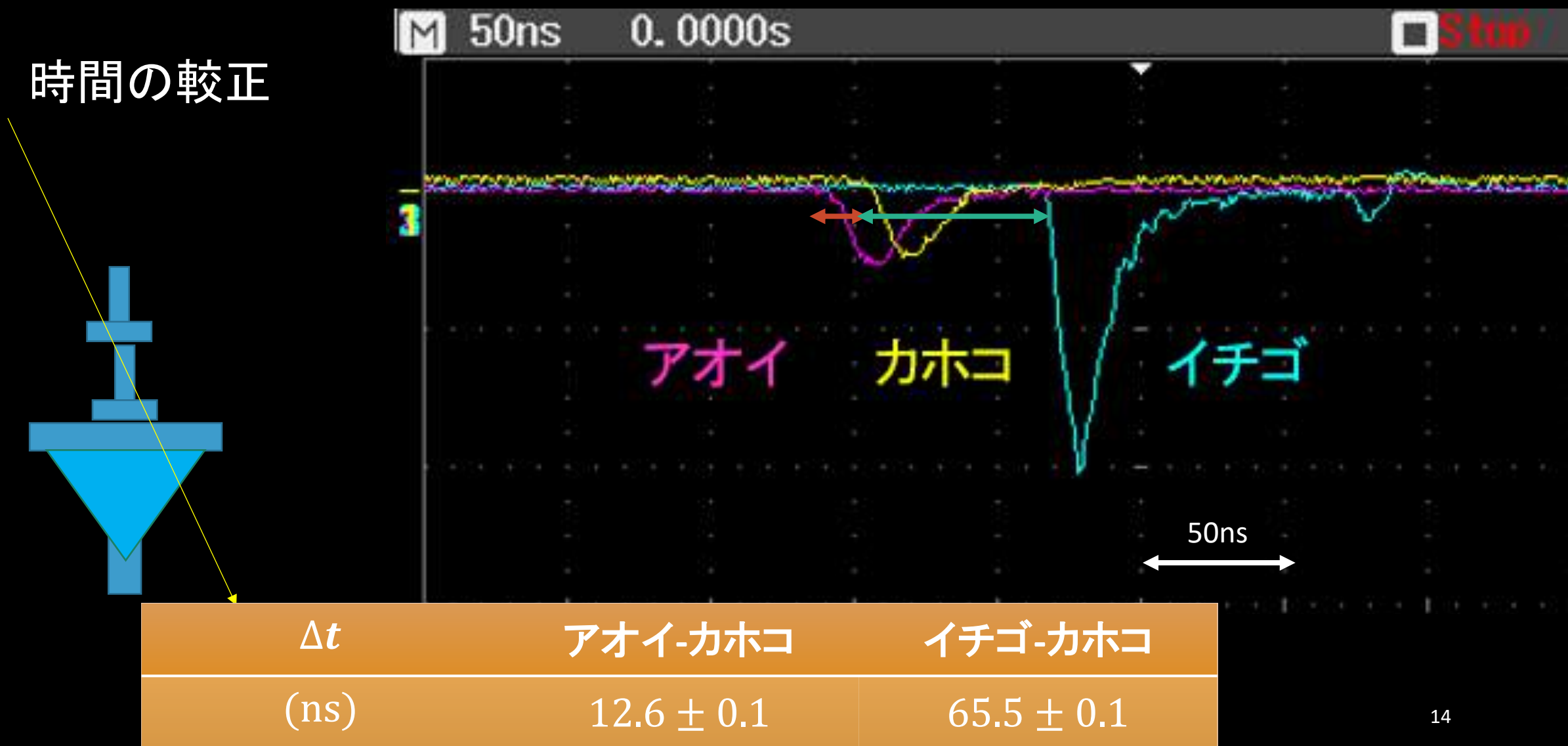
閾値の設定



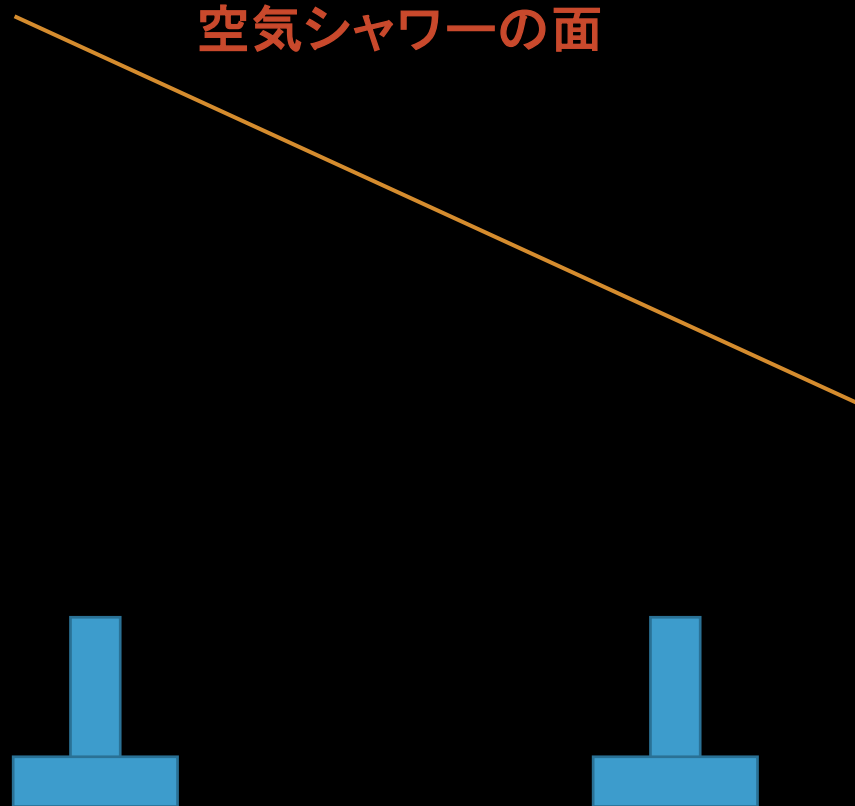
	力ホコ	アオイ	イチゴ
V_{th}	70mV	59mV	110mV

Our Experiment

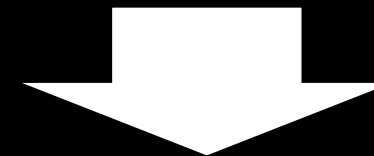
時間の較正



時間差から到来方向の判定



空気シャワーの面が傾いていると
検出器が受け取る信号に差が生じる



3台の検出器を用いることで
3台の座標と時間差から到来方向を決定できる

空気シャワーの到来方向の決定

* 極座標形式<天頂角(θ),方位角(ϕ)>で表記する

* シャワーは光速Cで進む

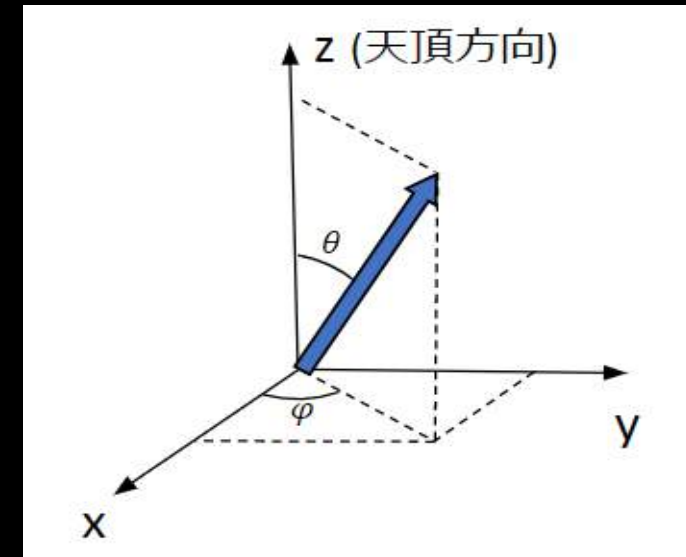
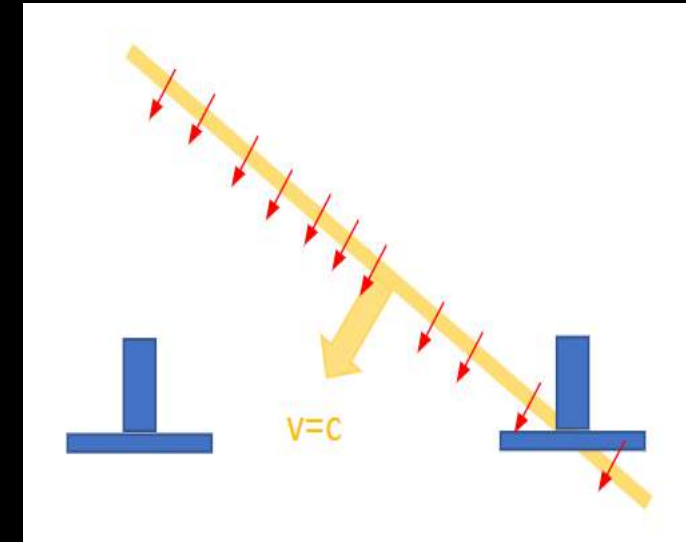
それぞれの検出器の座標および宇宙線の到来時間を

$$(t_1, x_1, y_1, z_1), (t_2, x_2, y_2, z_2), (t_3, x_3, y_3, z_3)$$

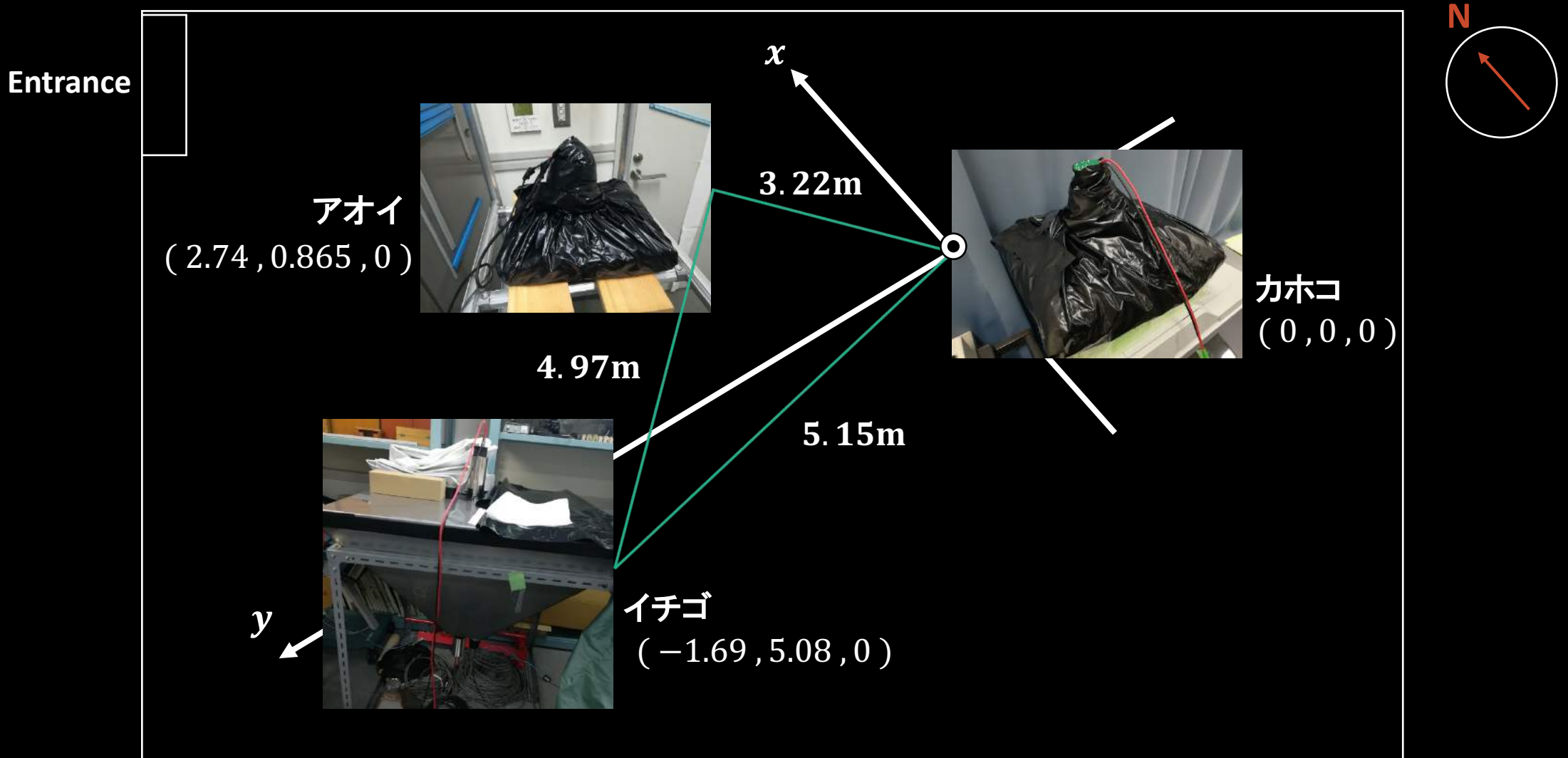
とする

そして座標及び到来時間から最終的に

θとφを解く(時間tで表す)

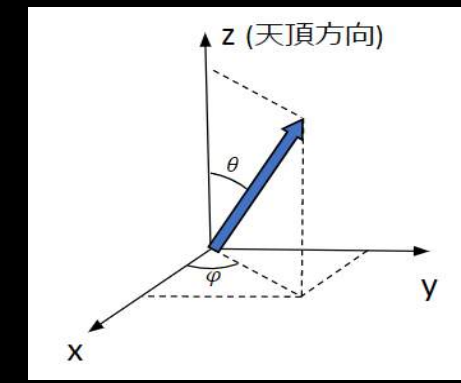


Our Experiment



計算結果(θ, ϕ の関数として)

※z方向成分は3台の検出器の高さを合わせている。



$$\Phi = \arctan \left(\frac{\Delta t_2 \Delta x_3 - \Delta t_3 \Delta x_2}{\Delta t_3 \Delta y_2 - \Delta t_2 \Delta y_3} \right)$$

$$\theta = \arcsin \left(\frac{c \sqrt{\Delta t_3^2 (\Delta x_2^2 + \Delta y_2^2) - 2 \Delta t_2 \Delta t_3 (\Delta x_2 \Delta x_3 + \Delta y_2 \Delta y_3) + \Delta t_2^2 (\Delta x_3^2 + \Delta y_3^2)}}{(\Delta x_3 \Delta y_2 - \Delta x_2 \Delta y_3)} \right)$$

$$※ \Delta A_n = A_n - A_1$$

Z成分の高さが等しいので、差は0となる。

最終的には地平座標を赤道座標に変換して分布図を作成する

地表座標から赤道座標へ

- ・赤道座標=地球の自転を基準とした座標系

$$\cosh \sin A = -\cos \delta \sin H$$

$$\cosh \cos A = \cos \varphi \sin \delta - \sin \varphi \cos \delta \cos H$$

$$\sin h = \sin \varphi \sin \delta + \cos \varphi \cos \delta \cos H$$

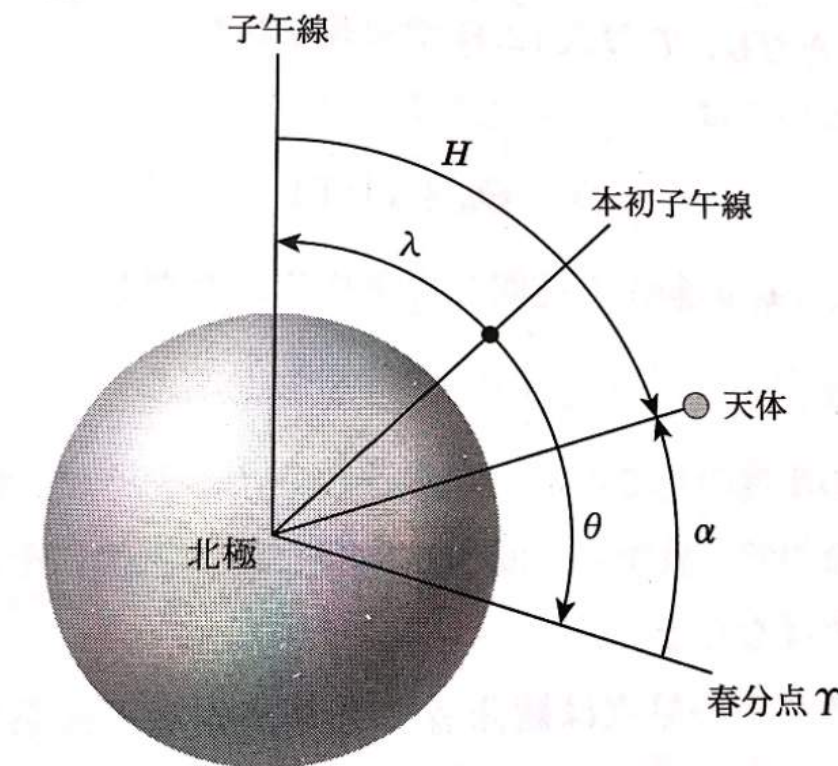
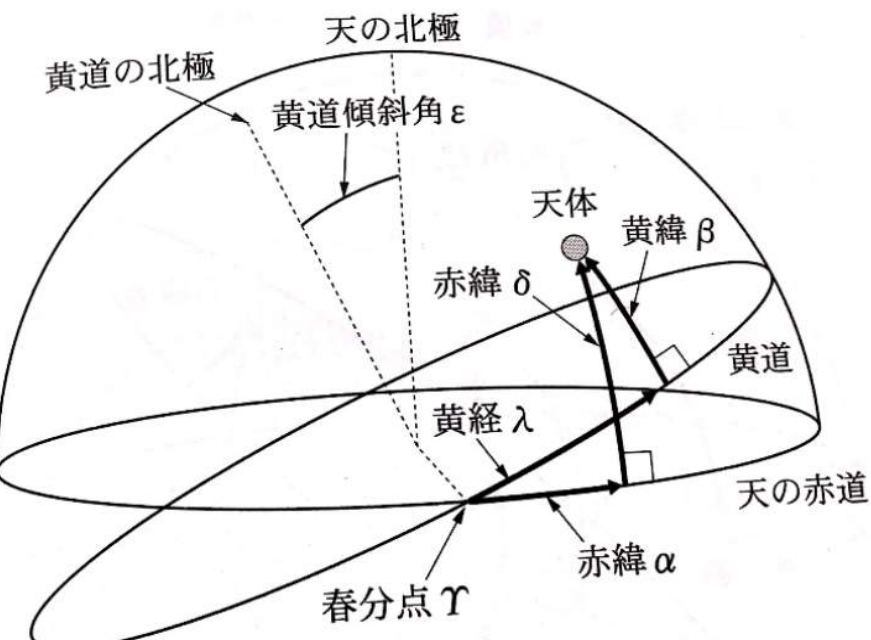
$$(H = \Theta + \lambda - \alpha)$$

緯度 φ 経度 λ (ある地点)

天頂角 h 方位角 A (空気シャワーのベクトル)

赤経 α 赤緯 δ

時角 H グリニッジ恒星時 Θ



地平座標と赤道座標の解析結果(一部分)

時間差や検出器の座標をも考慮

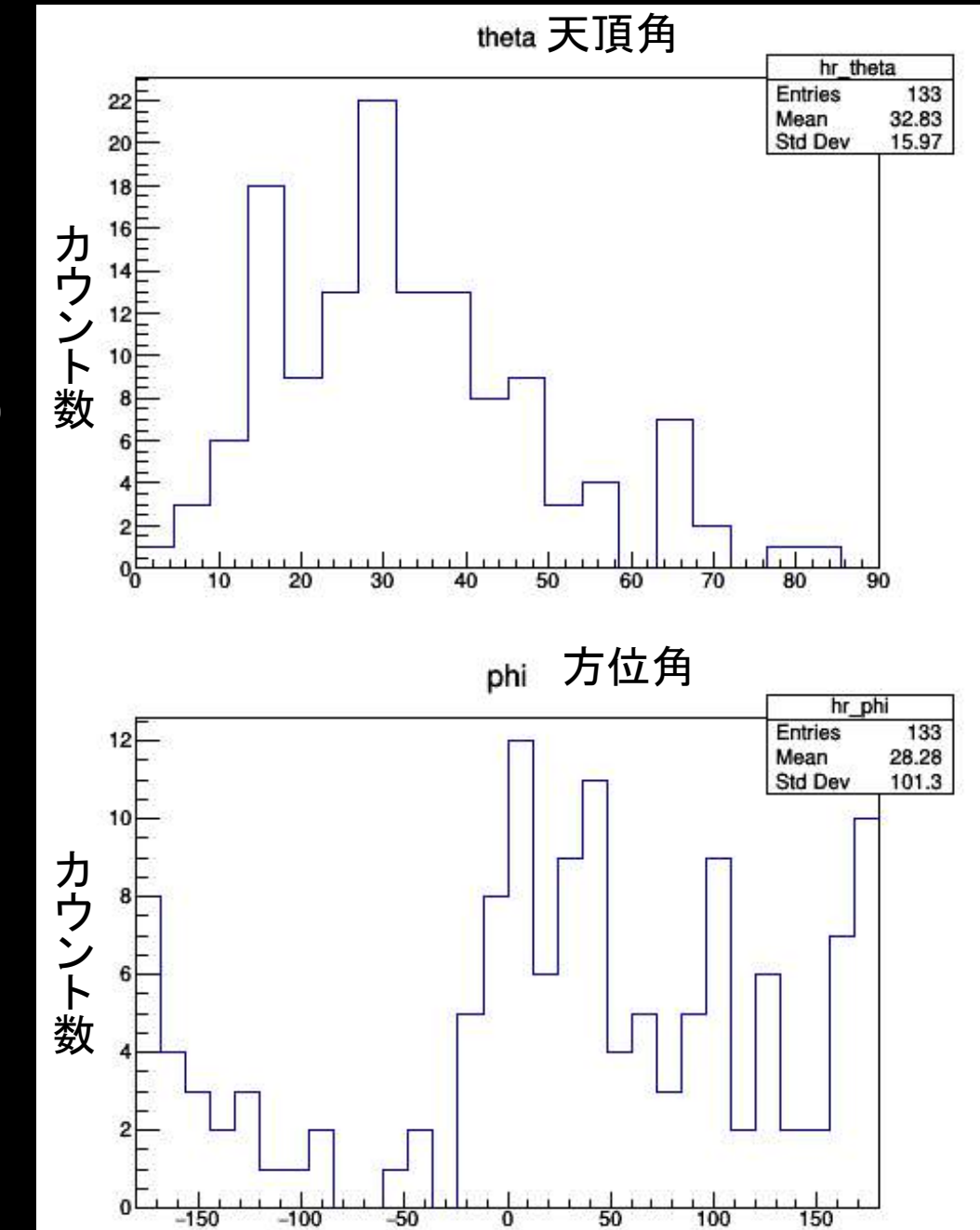
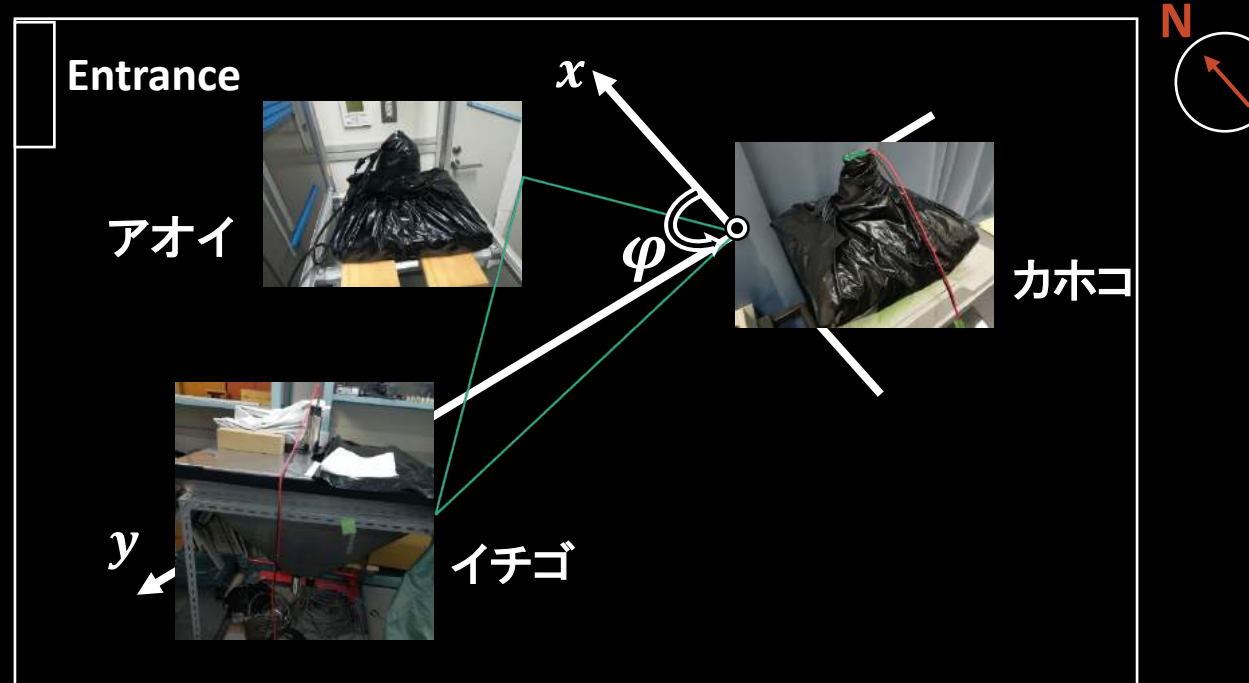
44時間32分15秒 / 同時検出数 133回

	x 座標(m)	y 座標(m)	z 座標(m)	Δt_2 (ns)	Δt_3 (ns)	天頂角(度)	方位角(度)	赤経(度)	赤緯(度)
カホコ	0	0	0	5.60	2.45	37.0	31.5	124.3	25.6
アオイ	2.74	0.865	0	-4.04	-4.55	31.9	47.2	109.5	22.7
イチゴ	-1.69	5.08	0	4.59	3.45	30.9	40.2	115.2	21.2
				-4.04	-5.55	33.8	52.2	106.0	25.5
				3.60	2.45	23.5	38.4	116.9	13.3

真上からシャワーが降ってきた場合

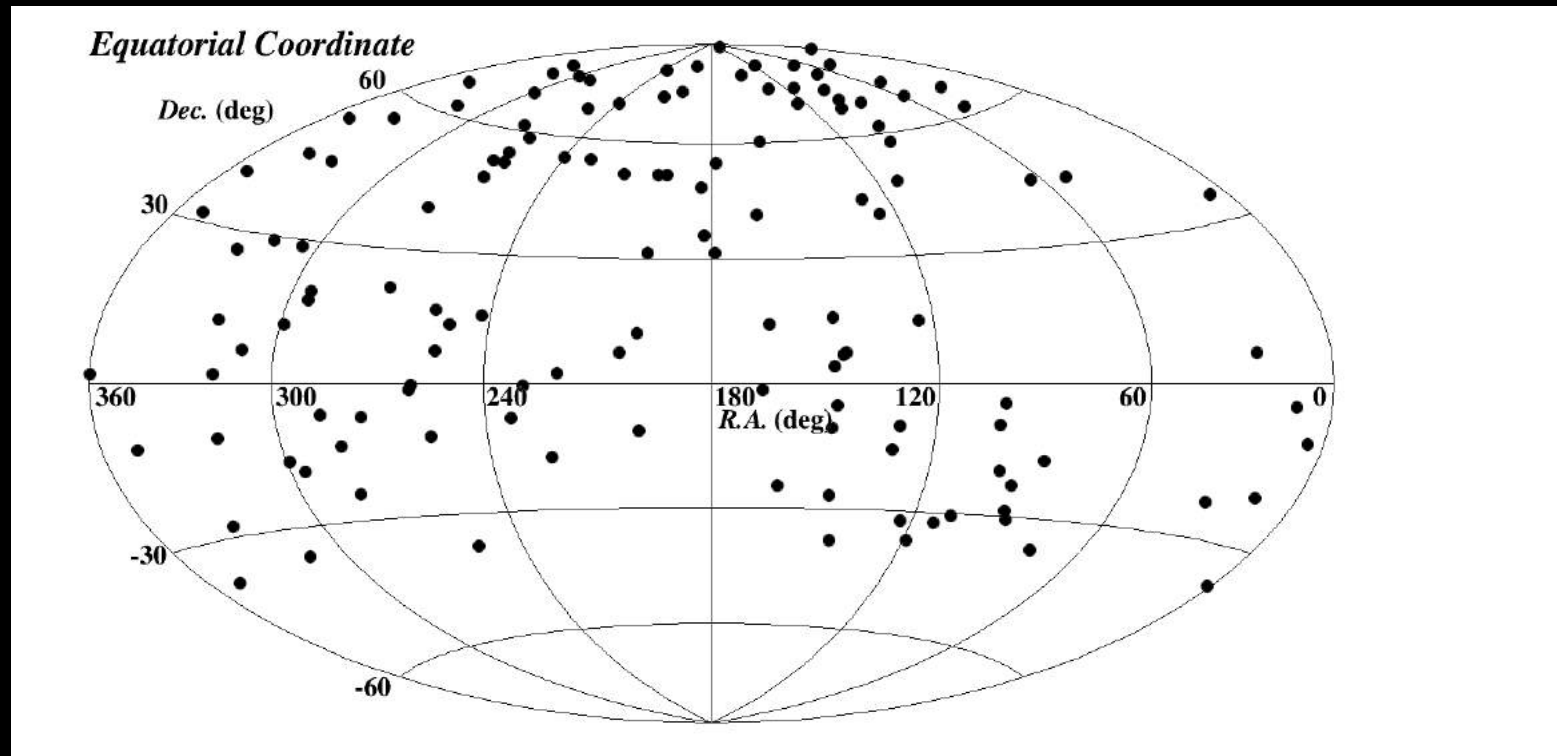
タイムラグ	カホコ：アオイ(ns)	カホコ：イチゴ(ns)	Δt_2 (ns)	Δt_3 (ns)
	12.6 ± 0.1	65.5 ± 0.1	アオイーカホコ	イチゴーカホコ

Our Experiment



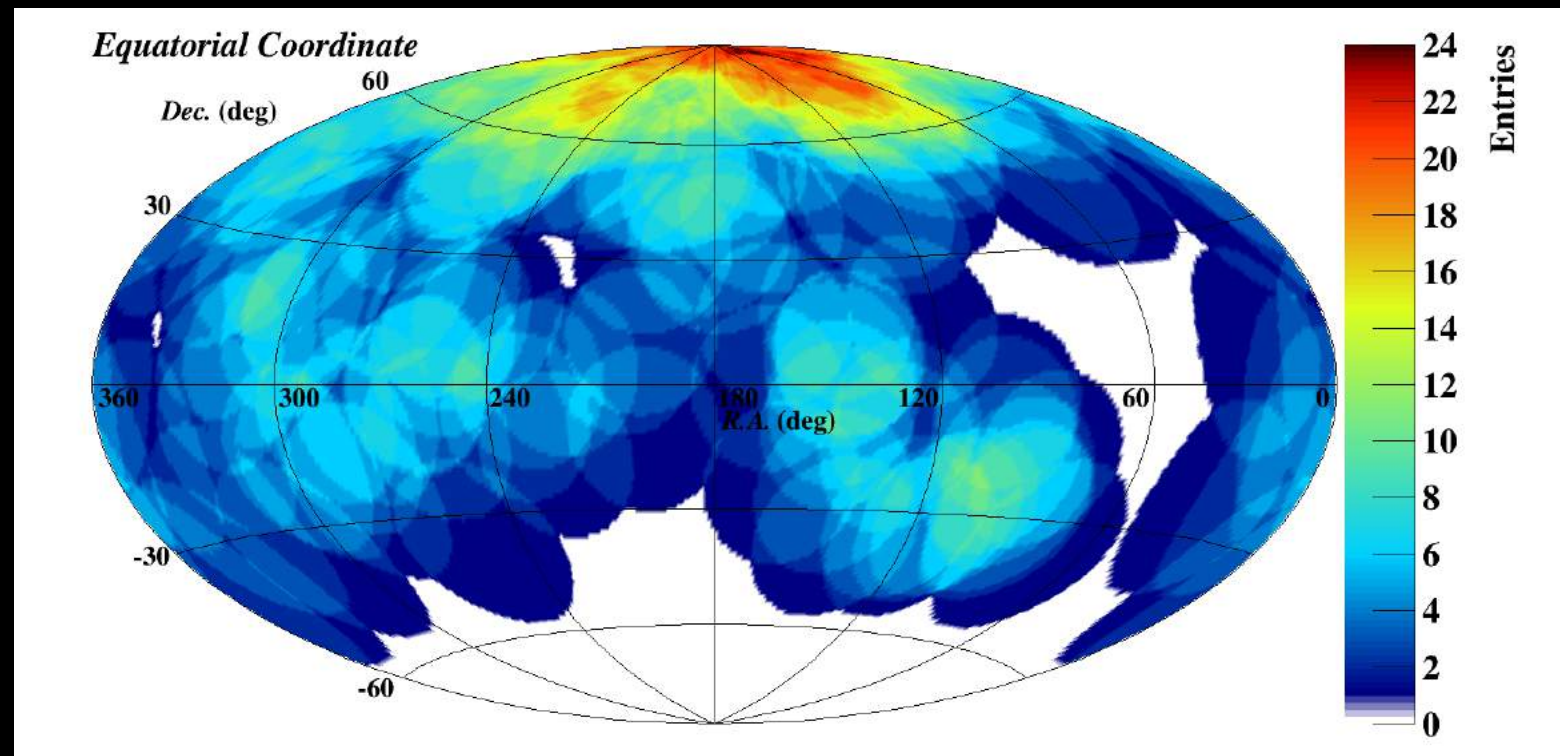
いよいよマッピング！！

到来方向の解析結果



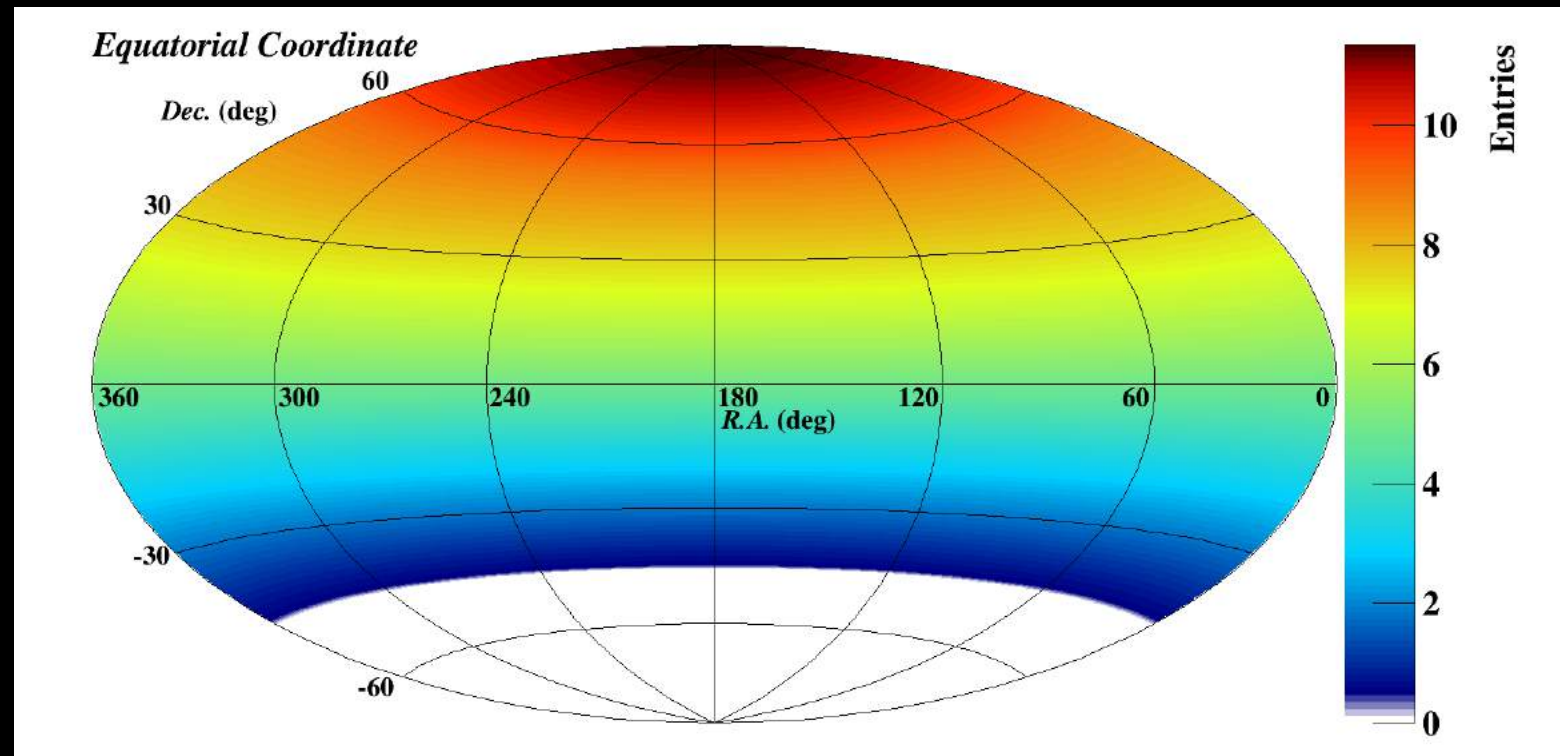
到来方向の分布

到来方向の解析結果



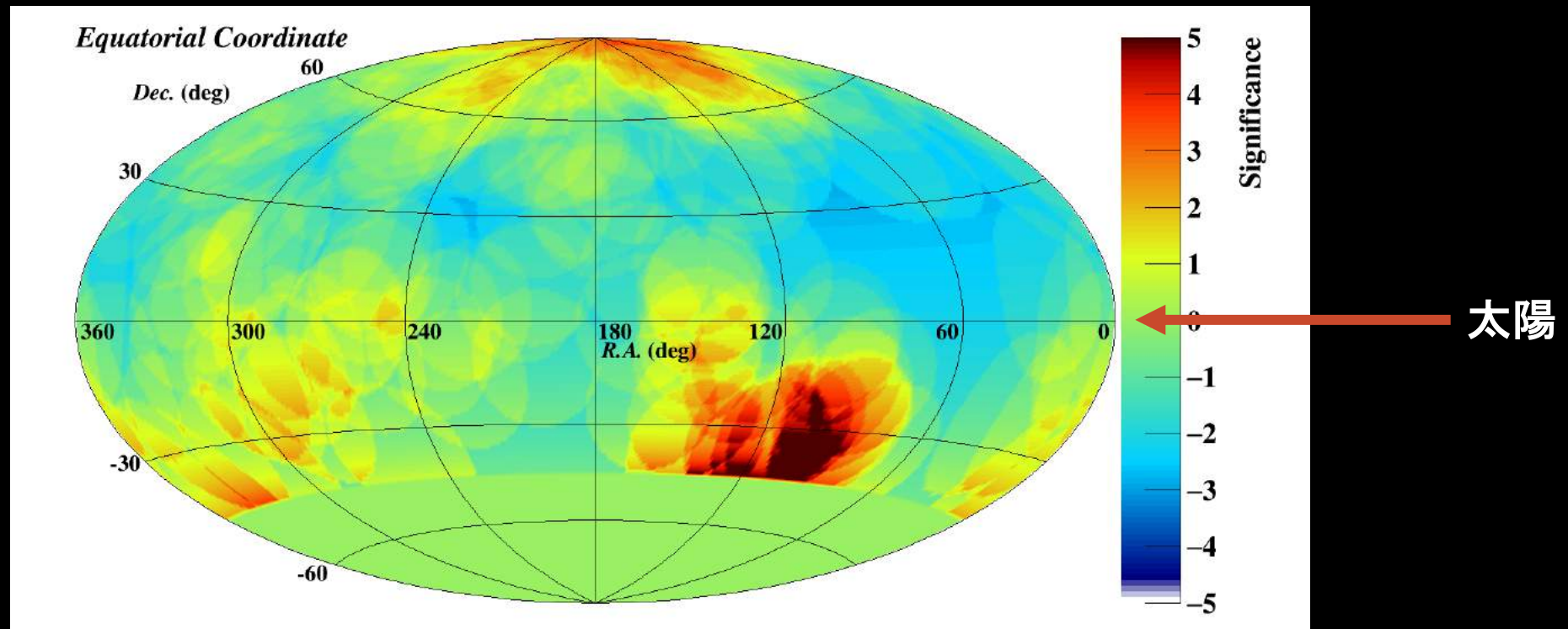
到来方向の分布

到来方向の解析結果



到来方向一様と仮定したときの粒子数の分布

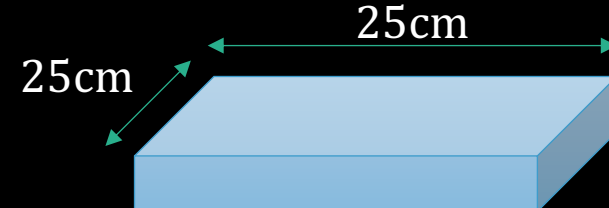
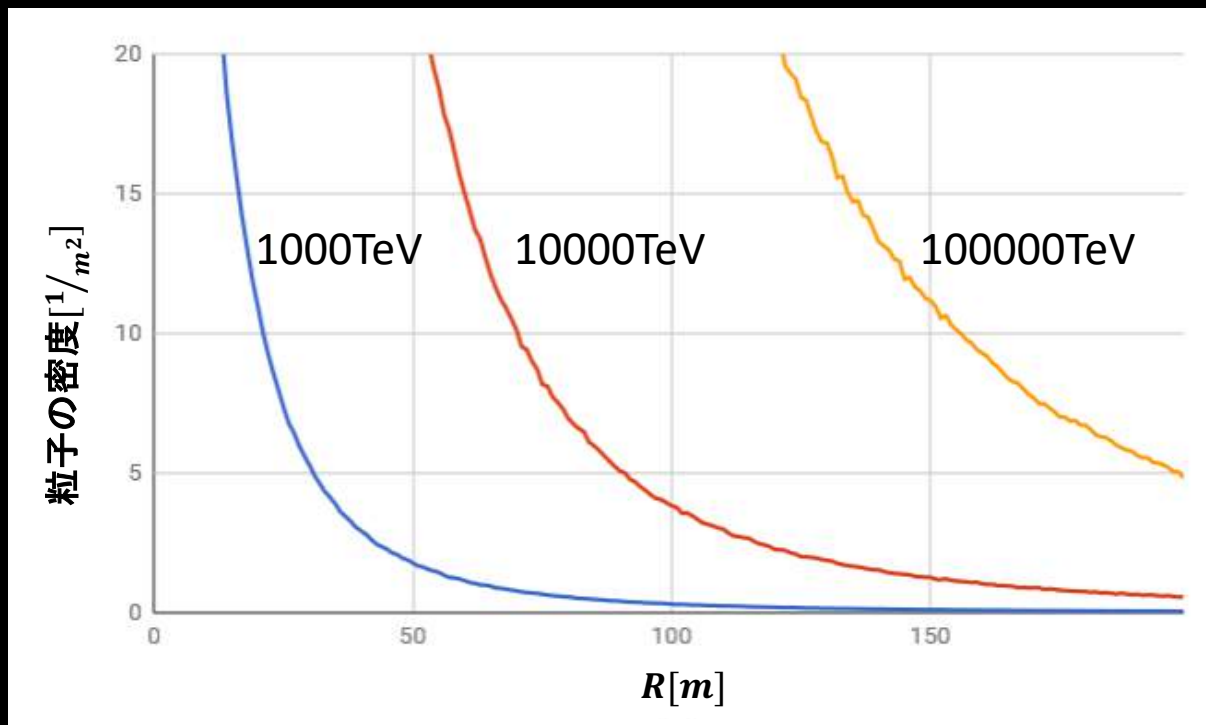
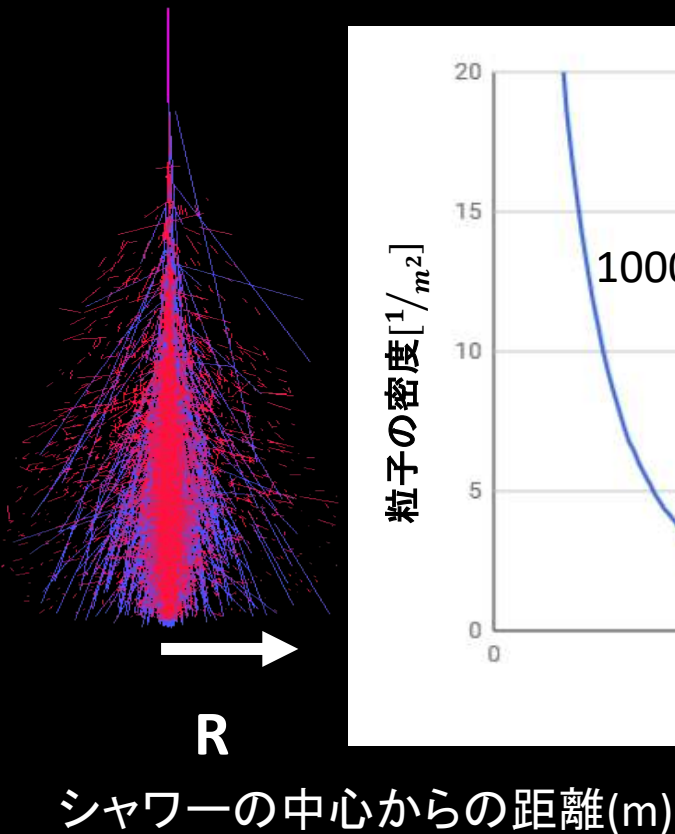
到来方向の解析結果



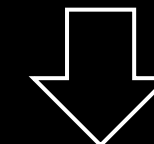
到来方向の有意度分布

考察

観測した宇宙線の最低エネルギー



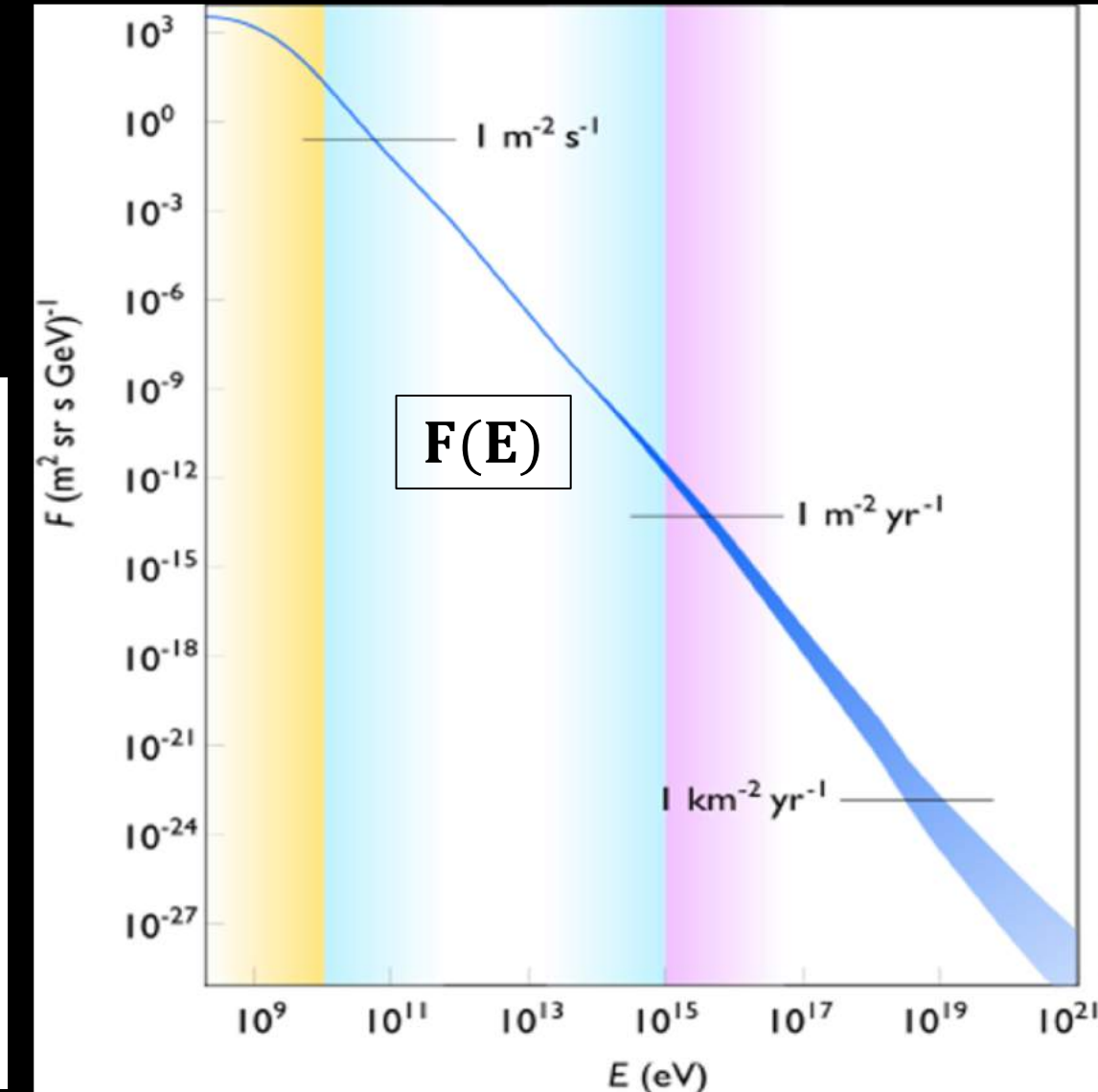
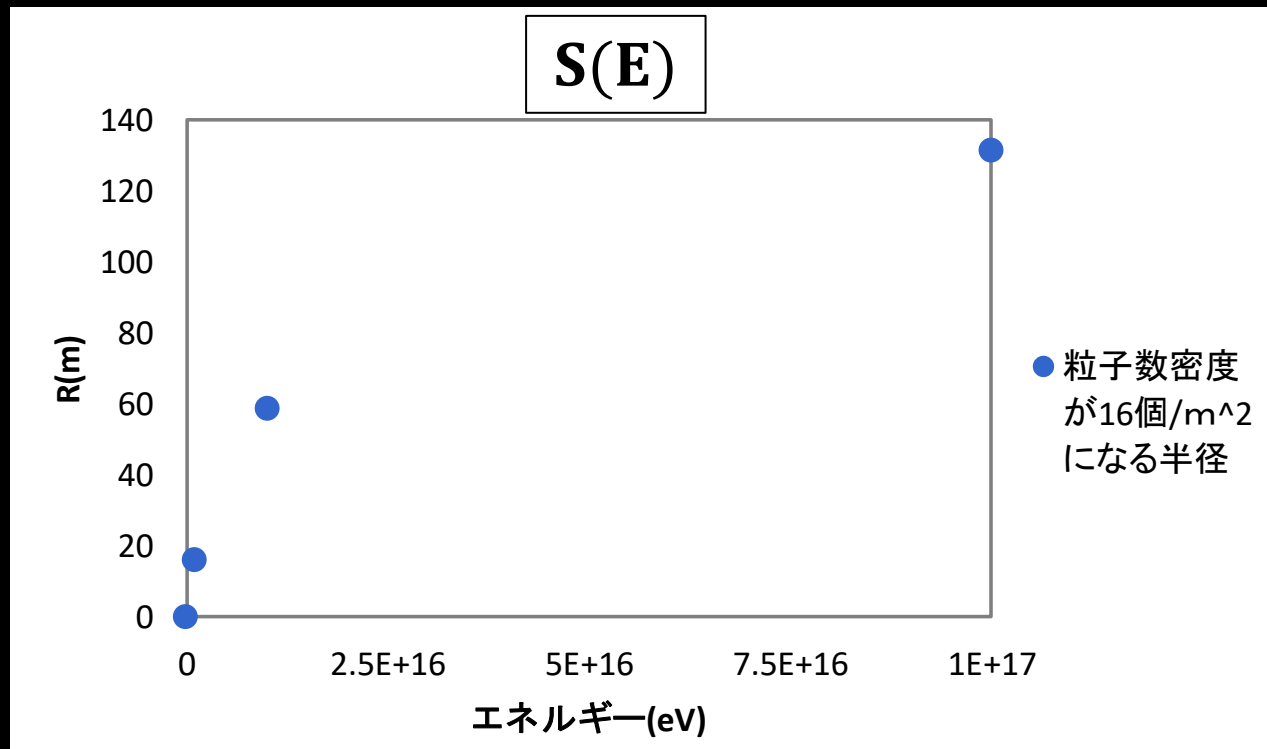
16個/ m^2 を超えた粒子数密度の
エネルギーを持つ
宇宙線の空気シャワーが観測できる



1000TeV以上

考察

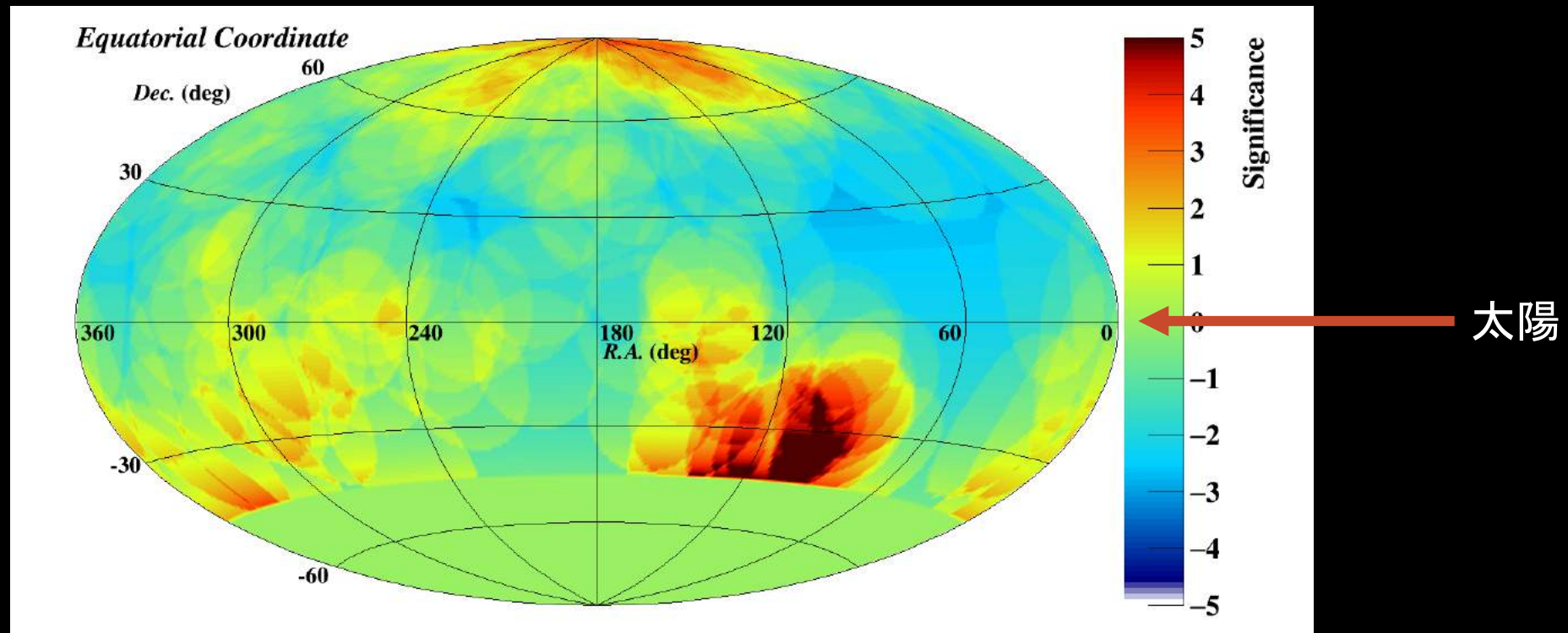
観測される粒子数の目安 N



$$N = \int_{E_0}^{\infty} S(E) \cdot F(E) \cdot T \cdot \Omega \, dE \sim 10^3$$

T :観測時間(s) Ω :観測エリア(sr)

到来方向の解析結果



0.1pc以内の距離からの空気シャワーの方向は正しく測定できる

太陽系内



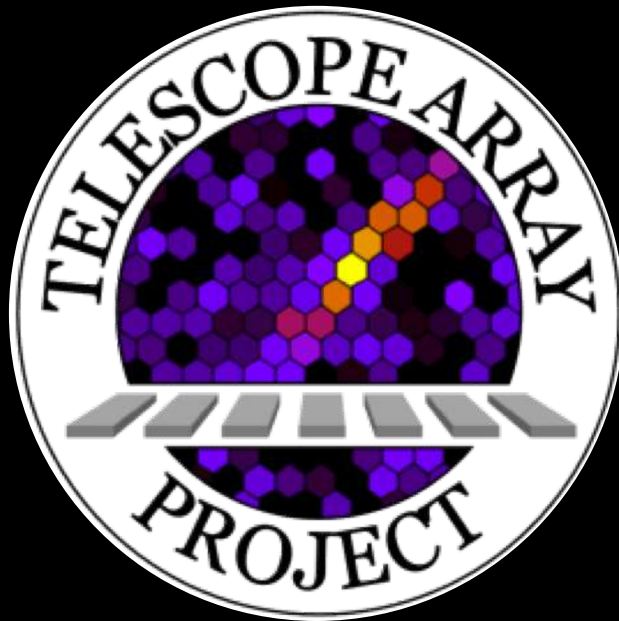
太陽から宇宙線は来ていない

ニュートリノ？

まとめ

- 3人の地表検出器アレイで44時間に133事象を観測
- 宇宙線の到来方向を求めた
- Hot Spot を観測
 - 0.1pc以内での宇宙線到来方向を測定
 - 太陽系内には高エネルギー宇宙線源は見つからなかった
 - 検出器付近のコンクリートの影響
 - 地平線付近にHot Spot → ニュートリノ？

Special Thanks to



Hiroyuki Sagawa

Takashi Sako

Toshihiro Fujii

Yuta Ozaki